

ИЗВЕСТИЯ

ТОМСКОГО ОРДЕНА ОКТЯБРЬСКОЙ РЕВОЛЮЦИИ И ОРДЕНА ТРУДОВОГО
КРАСНОГО ЗНАМЕНИ ПОЛИТЕХНИЧЕСКОГО ИНСТИТУТА имени С. М. КИРОВА

Том 205

1972

РАСЧЕТ ТЕМПЕРАТУРНОГО ПОЛЯ ОБМОТОК ДОБАВОЧНЫХ СОПРОТИВЛЕНИЙ ЭЛЕКТРОИЗМЕРИТЕЛЬНЫХ ПРИБОРОВ

Л. С. КОНОВАЛОВА, А. С. ЛЯЛИКОВ

(Представлена проф. докт. Г. И. Фуксом)

В основу расчета положены уравнения [1]

$$t(r, y) = \frac{q_v}{2\lambda\varepsilon} \left[-\frac{r^2}{2} r_0^2 \ln r - (\varepsilon - 1)y^2 + \frac{\lambda(R_2^2 - r_0^2)}{x_h R_2} + \right. \\ \left. + \frac{R_2^2 - 2r_0^2 \ln R_2}{2} + \frac{\varepsilon - 1}{3} L^2 \right] + t_{ж}, \quad (1)$$

$$r_0^2 = \frac{R_1 R_2 [2\lambda(x_h R_1 + x_b R_2) + x_b \alpha_h (R_2^2 - R_1^2)]}{2\lambda(x_h R_2 + x_b R_1) + 2\alpha_h \alpha_b R_1 R_2 \ln \frac{R_2}{R_1}}, \quad (2)$$

$$\varepsilon = \frac{3\lambda\alpha_t}{x_t L^2 + 3\lambda L} \left\{ \frac{R_2}{2x_h} \left[1 - \left(\frac{r_0}{R_2} \right)^2 \right] + \frac{R_2^2}{\lambda} \left[\frac{1}{8} - \frac{1}{8} \left(\frac{R_1}{R_2} \right)^2 - \right. \right. \\ \left. \left. - \frac{1}{4} \left(\frac{r_0}{R_2} \right)^2 - \left(\frac{r_0}{R_2} \right)^2 \left(\frac{R_1}{R_2} \right)^2 \frac{\ln \frac{R_1}{R_2}}{2 \left[1 - \left(\frac{R_1}{R_2} \right)^2 \right]} \right] \right\} + 1. \quad (3)$$

ε и r_0 могут быть определены из nomogramm, которые здесь не приводятся, что значительно облегчает расчет.

Чтобы воспользоваться (1) \div (3), необходимо знать эффективные коэффициенты теплоотдачи по поверхностям охлаждения обмотки α_h , α_b , α_t . Вычисление α_h , α_b , α_t по известным критериальным уравнениям требует знания температур соответствующих поверхностей, которые в поставленной задаче являются искомыми величинами. Обычно такие задачи решаются методом последовательных приближений. Трудоемких операций этого метода можно избежать, если обобщить экспериментальный материал по перегревам поверхностных точек обмотки и обобщенные уравнения использовать для расчета средних перегревов поверхностей обмотки.

Методика проведения эксперимента описана в работе [2]. На 25 образцах катушек добавочных сопротивлений температура измерялась в 6 точках (рис. 1), что позволило найти средние перегревы

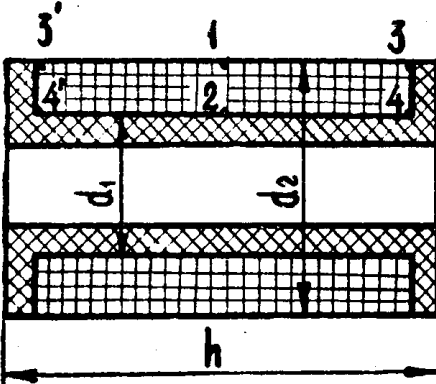


Рис. 1

по наружной, внутренней и торцевым поверхностям охлаждения обмотки

$$\bar{\vartheta}_n = \frac{\vartheta_1 + \vartheta_3}{2}, \quad \bar{\vartheta}_b = \frac{\vartheta_2 + \vartheta_4}{2}, \quad \bar{\vartheta}_t = \frac{\vartheta_5 + \vartheta_6}{2}.$$

Записав уравнения для $\bar{\vartheta}_n$, $\bar{\vartheta}_b$, $\bar{\vartheta}_t$ согласно (1) в безразмерной форме, получим

$$\frac{1}{P_{O_n}} = \frac{1}{4\varepsilon} \left[\frac{1}{2Bi_n} \frac{R_2^2 - r_0^2}{L^2} - \frac{1}{3} (\varepsilon - 1) \right], \quad (4)$$

$$\frac{1}{P_{O_b}} = \frac{1}{4\varepsilon} \left[\frac{1}{2} \frac{R_2^2 - R_1^2}{L^2} + \left(\frac{r_0}{L} \right)^2 \ln \frac{R_1}{R_2} + \frac{1}{Bi_n} \frac{R_2^2 - r_0^2}{L^2} - \frac{4}{3} (\varepsilon - 1) \right], \quad (5)$$

$$\frac{1}{P_{O_t}} = \frac{1}{4\varepsilon} \left[\frac{R_2^2 - R_1^2}{L^2} + 2 \left(\frac{r_0}{L} \right)^2 \ln \frac{R_1}{R_2} + \frac{1}{Bi_n} \frac{R_2^2 - r_0^2}{L^2} - \frac{1}{3} (\varepsilon - 1) \right], \quad (6)$$

здесь

$$P_{O_n} = \frac{q_v L^2}{\lambda \bar{\vartheta}_n}, \quad P_{O_b} = \frac{q_v L^2}{\lambda \bar{\vartheta}_b}, \quad P_{O_t} = \frac{q_v L^2}{\lambda \bar{\vartheta}_t} \text{ — критерии Померанцева,}$$

$$Bi_n = \frac{\alpha_n R_2}{\lambda} \text{ — критерий Био.}$$

Численные расчеты показали, что в пределах рассматриваемого экспериментального материала слагаемое правой части уравнений (4) \div (6), содержащее $(\varepsilon - 1)$, а также слагаемое $\left(\frac{r_0}{L} \right)^2 \ln \frac{R_1}{R_2}$ относительно невелики, имеют различные знаки и, вследствие этого, не оказывают существенного влияния на результат. Исходя из предположения, что изменение ε и Bi_n мало, а r_0 близко к R_1 , можно ожидать, что критерий P_0 является функцией от геометрического комплекса $\frac{R_2^2 - R_1^2}{L^2}$

$$\text{или } P_0 \approx f \left(\frac{d_2^2 - d_1^2}{h^2} \right),$$

где

$$d_1 = 2R_1, \quad d_2 = 2R_2, \quad h = 2L.$$

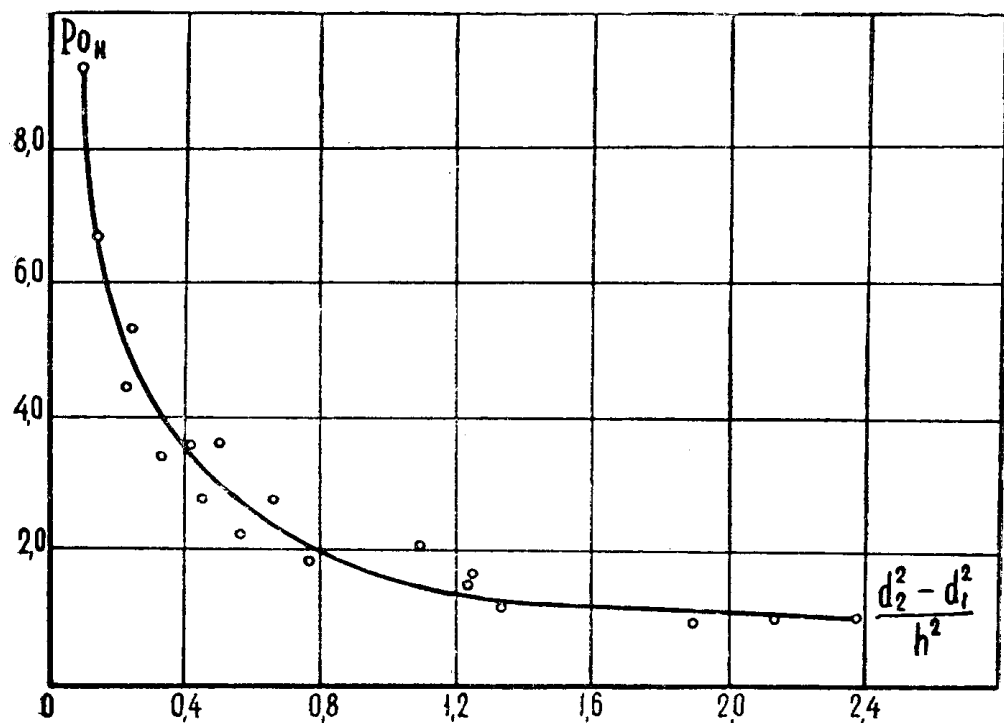


Рис. 2

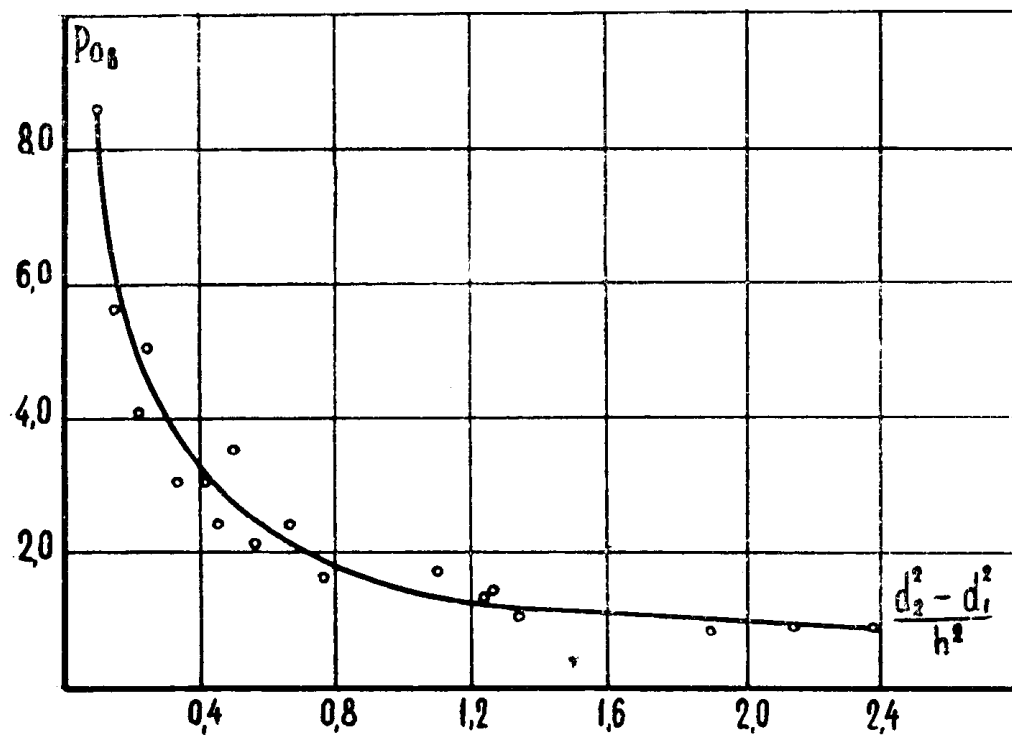


Рис. 3

Из этих соображений для каждой катушки были вычислены $\frac{d_2^2 - d_1^2}{h^2}$, а также критерии Po_h , Po_s , Po_t для всех температурных режимов, которые затем усреднялись (для любой катушки отклонение среднего критерия Po от истинных, вычисленных по наибольшим и наименьшим перегревам, не превышало 2—3%). Результаты вычислений графически представлены на рисунках 2, 3, 4.

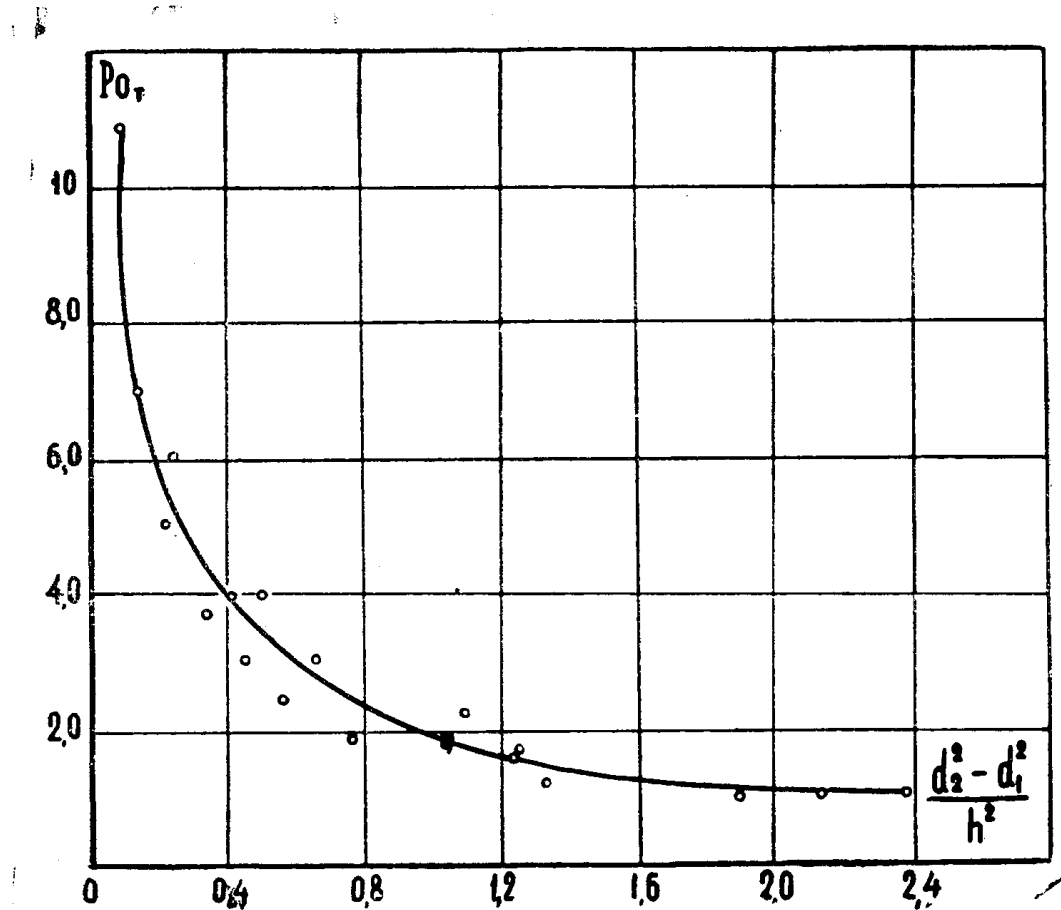


Рис. 4

Уравнения кривых $Po \approx f\left(\frac{d_2^2 - d_1^2}{h^2}\right)$, полученные с помощью ЭЦВМ, имеют вид

$$Po_h = 1,74 \left(\frac{d_2^2 - d_1^2}{h^2} \right)^{-0,75}, \quad (7)$$

$$Po_s = 1,56 \left(\frac{d_2^2 - d_1^2}{h^2} \right)^{-0,775}, \quad (8)$$

$$Po_t = 1,83 \left(\frac{d_2^2 - d_1^2}{h^2} \right)^{-0,8}. \quad (9)$$

Пределы применимости (7) \div (9) следующие:

$$0,5 < Po < 23, \quad 0,033 < \frac{d_2^2 - d_1^2}{h^2} < 4,3.$$

Уравнения (7) \div (9) позволяют найти средние перегревы по поверхностям охлаждения катушки и далее по известным критериальным

уравнениям определить конвективную часть α_{hk} , α_t , а также полные значения α_h , и α_t с учетом того, что последние представляют сумму лучистой и конвективной составляющих. Тепло, рассеиваемое с внутренней поверхности катушки, вычисляется из уравнения баланса

$$Q_b = Q - (Q_h + Q_t), \quad (10)$$

после чего α_b найдется без затруднений.

Для 15 произвольно выбранных образцов было произведено сравнение перегревов, рассчитанных для точек 1, 2, 3, 4 и по уравнениям (1) \div (3), с соответствующими экспериментальными данными; коэффициенты теплоотдачи при этом определялись по средним перегревам, вычисленным с помощью уравнений (7) \div (9), а коэффициенты теплопроводности по данным [3]. В результате этого сопоставления оказалось, что погрешности расчета лежат в основном в пределах $\pm 15\%$. Естественно, что трудно ожидать более высокой точности расчета для реальных сопротивлений, учитывая приближенность решения (1) \div (3), аппроксимацию экспериментальных данных уравнениями (7) \div (8) и колебания экспериментальных данных по коэффициентам теплопроводности обмоток, связанные с неодинаковой плотностью намотки и отклонением намоточных проводов от их номиналов.

Выводы

1. Соотношения (1) \div (3) при использовании надежных исходных данных по α_h , α_b , α_t и λ позволяют с достаточной точностью рассчитывать температурное поле обмоток электрических катушек.

2. Обобщение экспериментальных данных о средних температурах теплоотдающих поверхностей электрических катушек в форме уравнений (7) \div (9) позволяет использовать такие уравнения для расчета осредненных температур поверхностей охлаждения обмотки и последующего определения α_h , α_b , α_t .

ЛИТЕРАТУРА

1. Ляликов А. С., Коновалова Л. С. Температурное поле короткой трубы с внутренними источниками тепла. ИФЖ, т. XV, № 3, 1968.
 2. Ляликов А. С., Загромов Ю. А., Ершова Л. С. Экспериментальные данные мощности рассеяния добавочных сопротивлений электроизмерительных приборов (в условиях свободной конвекции). Изв. ТПИ, т. 137, 1965.
 3. Коновалова Л. С., Ляликов А. С. Коэффициенты теплопроводности обмоток из проволоки марки ПЭМС. В данном сборнике.
-